

نقاط دیراک خوانده می‌شود، با یکدیگر در تماس هستند.
ساختار الکترونی گرافین توسط هامیلتونی دیراک ذرات بدون جرم توصیف می‌شود [۳].
تراپرداز و مطالعه اثرات آن برای یک تک اتصال بین گرافین ابررسانا و گرافین نرمال [۴] و مابین یک اتصال گرافین ابررسانا و گرافین فرومغناطیس [۵] انجام شده است.
در این تحقیق ما قصد داریم تراپرد الکترونی همدوس را در یک ساختار دو اتصالی از گرافین با اندازه محدود و در چارچوب نظریه BCS بررسی کنیم. اتصالات ما گرافینی است و ما خود را به حد ابررساناگی تمیز s-wave و همسانگرد محدود می‌کنیم و برای سادگی از خودسازگاری پتانسیل زوج ابررسانا و اثرات تراکم غیرتعادلی اسپین و بار در فصل مشترک صرف نظر می‌کنیم. هنگامی که الکترون‌ها به طور همزمان دو فصل مشترک را مشاهده کنند، ویژگی مشخصه همدوسی در دو

در سال‌های گذشته تلاش‌های زیادی برای توسعه دستگاه‌های الکترونیکی بر پایه حامل‌های اسپین قطبیده انجام شده است. چنین دستگاه‌هایی را می‌توان با استفاده از ساختارهای یکسو کننده جریان شامل لایه‌های فرومغناطیس و غیرفرومغناطیس نظیر ابررسانا ساخت [۱]. جریان اسپین قطبیده ناشی از اختلاف تراکم حامل‌ها در زیرنوارهای اسپینی است. گرافین، یک تک لایه از اتم‌های کربن است که در آرایش شش گوشی لانه زنپوری قرار گرفته است و اتم‌های کربن در دو زیرشبکه (A) و (B) از این شبکه شش گوشی قرار گرفته‌اند [۲]. گرافین یک نیم رسانای بدون گاف است و دارای رابطه پاشندگی خطی و مستقل از انرژی در حد برانگیختگی‌های کوچک است که منجر به نوارهای رسانش و ظرفیت مخروطی شکلی می‌شود و این نوارها در گوشه‌های شش گوشی منطقه اول بریلوئن که

$$H = \begin{pmatrix} H_+ & \\ & \ddots \\ & & H_- \end{pmatrix}, \quad (1)$$

که $H_{\pm} = -i\hbar v_F (\sigma_x \partial_x \pm \sigma_y \partial_y) - U(\vec{r}) - E_F$ هامیلتونی دیراک شبه ذرات بدون جرم است که در آن σ_x و σ_y ماتریس‌های 2×2 پائولی هستند و $U(x) = U_0 \theta(x) \theta(d-x)$ پتانسیل الکترواستاتیکی است که به طور جداگانه می‌تواند در مناطق فرومغناطیسی و ابررسانا به وسیله یک ولتاژ خارجی یا آلایدگی ایجاد شود، و بر روی اسپینورهای چهار بعدی زیرشبكه گرافین هستند و \pm مربوط به دو حالت (Zirnosh $\psi_{A+, \psi_{B+}, \psi_{A-}, \psi_{B-}}$) که زیرنوشت A و B مربوط به دو ساختار نواری گرافین است، عمل می‌کنند. در غیاب فرومغناطیسی هامیلتونی دیراک با عملگر وارونی زمانی جایه‌جا می‌شود [۴].

$$TH_{\pm}(h)T^{-1} = H_{\pm}(-h), \quad (2)$$

که h پتانسیل تبادلی ناشی از فرومغناطیسی است و T عملگر وارونی زمانی به صورت زیر تعریف می‌شود:

$$T = -(\sigma_y \otimes \sigma_y)C \quad (3)$$

که C عملگر مزدوج مختلط است. وارونی زمانی توابع موج در شکاف‌ها را به یکدیگر مرتبط می‌کند.

$$\psi_e = (\psi_{A+}, \psi_{B+}, \psi_{A-}, \psi_{B-}), \quad (4)$$

$$\psi_h = T\psi_e = (\psi_{A-}^*, \psi_{B-}^*, \psi_{A+}^*, \psi_{B+}^*). \quad (5)$$

برانگیختگی‌های الکترون و حفره توسط معادله شبه ذرات

دیراک - بوگلیوبوف - دژن (DBdG) توصیف می‌شود [۴].

$$\begin{pmatrix} H(h) & \Delta \\ \Delta^* & -(H(-h)) \end{pmatrix} \begin{pmatrix} \psi_e \\ \psi_h \end{pmatrix} = \varepsilon \begin{pmatrix} \psi_e \\ \psi_h \end{pmatrix}, \quad (6)$$

Δ پارامتر زوج ابررسانایی است که شبه ذرات الکترون گونه ψ_e و حفره گونه ψ_h را به یکدیگر جفت می‌کند. بدون از دست دادن هیچ عمومنیتی Δ را حقیقی و به صورت $\Delta = \Delta_0 \theta(x) \theta(d-x)$ در نظر می‌گیریم. که θ تابع پله‌ای هوی ساید است. h پتانسیل ناشی از میدان تبادلی است و به صورت $h = h_0(\theta(-x) + \theta(x-d))$ است.

در ناحیه ابررسانا که فرومغناطیسی حضور ندارد توابع ψ_e و ψ_h طبق (۴) و (۵) وارونی زمانی یکدیگر هستند. اما در ناحیه فرومغناطیس به دلیل حضور برهم‌کنش تبادلی وارونی

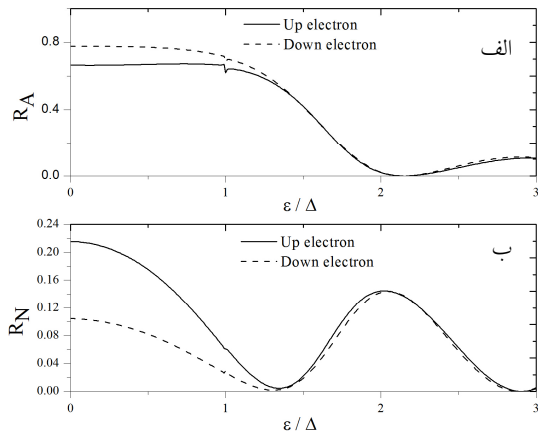
پارامتر آشکار می‌شود: ۱- تراپرد الکترونی در برانگیختگی‌های پایین‌تر از گاف و ۲- نوسانات رسانش دیفرانسیلی اسپینی و الکترونی در برانگیختگی‌های بالاتر از گاف.

یکی از نتایج تداخل شبه ذرات صفر شدن دوره‌ای بازتاب آندربو در انرژی‌هایی موسوم به تشدید هندسی است که نشانه‌ای آشکار از وابستگی جریان‌های اسپینی و الکترونی به پهنه‌ای ناحیه ابررساناست و حضور یک جریان اسپین قطبیده است که ما در این تحقیق به بررسی این نتایج برای دو حالت لایه ابررسانایی ضخیم ($d \ll \gamma$) و لایه ابررسانایی نازک ($d \approx \gamma$) پرداختیم. که d پهنه‌ای ناحیه ابررسانا و γ طول همدوسی ابررساناست. همچنین پیشنهادی برای ساخت یک دستگاه تولید کننده جریان قطبیده برپایه گرافین ارائه دادیم که دارای کاربردهای بسیاری در صنعت اسپینترونیک است.

ساختاری که ما در نظر گرفتیم یک تک لایه از گرافین است و قصد داریم ساختار FSF گرافینی با جهت‌گیری موازی میدان تبادلی در فرومغناطیس‌ها را در آن ایجاد کنیم. با قرار دادن یک الکترود ابررسانا بر روی گرافین، با توجه به اثر مجاورت، می‌توان ابررسانایی را در گرافین القا کرد [۴]. برای ایجاد ناحیه فرومغناطیس نظریه‌های متفاوتی وجود دارد که می‌توان از آنها برای ایجاد ناحیه فرومغناطیس استفاده کرد [۶].

نکته‌ای که در اینجا باید به آن اشاره کنیم این است که به دلیل اینکه ساختار ناحیه ابررسانا و ناحیه فرومغناطیس هر دو گرافینی هستند در نتیجه در حد برانگیختگی‌های پایین و فصل مشترک تیز (پهنه‌ای فصل مشترک مابین ناحیه ابررسانا و یک ناحیه فرومغناطیس نسبت به طول موج فرمی خیلی کوچک باشد [۷]). آرمچیر بودن یا زیگزاگ بودن اتصال نقشی در رسانندگی نخواهد داشت. پهنه‌ای ناحیه ابررسانا را d و جهت‌گیری میدان تبادلی فرومغناطیس‌ها را موازی و مساوی در نظر گرفتیم. محور x را عمود بر فصل مشترک‌ها در نظر می‌گیریم.

هامیلتونی تک ذره در گرافین هامیلتونی دیراک دو بعدی است [۸]



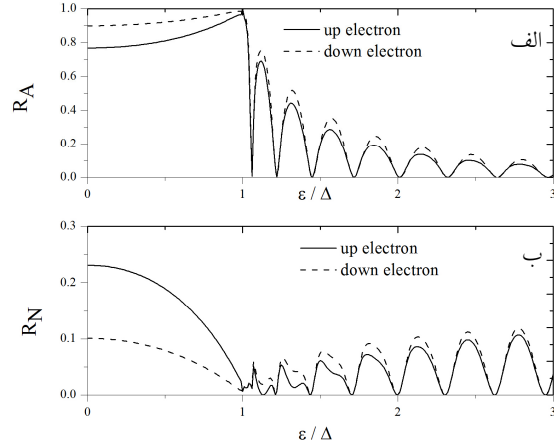
شکل ۲. (الف) بازتاب آندریو (ب) بازتاب معمولی، برای الکترون فرودی با $\sigma = \uparrow$ و $\sigma = \downarrow$ این نمودارها برای $U_0 = 100E_F$ ، $t_h = 0/2E_F$ ، $\Delta_0 = 0/01E_F$ و $d = 0/2E_F$ رسم شده است.

بازتاب معمولی)، r_A (دامنه بازتاب آندریو [۴] که مربوط به تبدیل الکترون به حفره در فصل مشترک فلز و ابررسانا است. t_e ، دامنه ترابرد الکترون گونه و t_h ، دامنه ترابرد حفره گونه، را به دست می‌آوریم.

نمودارهای احتمال بازتاب معمولی $R_N = |r_N|^2$ ، احتمال بازتاب آندریو $R_A = |r_A|^2$ ، در شکل ۱ نمایش داده شده است. صفر شدن دوره‌ای بازتاب آندریو و نوسان بازتاب نرمال در انرژی‌های بالاتر گاف $\Delta > \epsilon$ نشانه‌ای آشکار از تداخل توابع موج شبیه ذرات است. همه احتمال‌ها با تغییر d نیز نوسان می‌کنند. در انرژی‌های $\Delta < \epsilon$ بازتاب آندریو که به عنوان مکانیزم تبدیل جریان معمولی به ابرجریان شناخت می‌شود، حاکم است و این موضوع سبب می‌شود که بازتاب معمولی مقداری حداقلی داشته باشد.

در شکل ۲ دیده می‌شود که نوسانات حتی برای پهنه‌ای باریک نیز وجود دارد و نشان دهنده وجود همدوسی کوانتومی در توابع موج شبیه ذرات است.

هنگامی که ولتاژ V به اتصال اعمال شود، جریان بار به ازای هر الکترون از رابطه زیر محاسبه می‌شود [۱۰]:



شکل ۱. (الف) بازتاب آندریو (ب) بازتاب معمولی، برای الکترون فرودی با $\sigma = \uparrow$ و $\sigma = \downarrow$. این نمودارها برای $U_0 = 100E_F$ ، $t_h = 0/2E_F$ و $\Delta_0 = 0/01E_F$ رسم شده است.

زمان شکسته می‌شود. از طرفی چون $\psi_h = \psi_e$ است، در معادلات جفت نشده زیر صدق می‌کنند [۹]:

$$\begin{aligned} H(h)\psi_e &= \epsilon\psi_e, \\ H(-h)\psi_h &= -\epsilon\psi_h. \end{aligned} \quad (V)$$

با حل معادلات (۶) و (۷) توابع موج چهار مولفه‌ای در نواحی فرومغناطیس و ابررسانا به دست می‌آیند.

در حین فرآیند پراکندگی ذرات از فصل مشترک مولفه y بردار موج و انرژی برانگیختگی ϵ ثابت باقی می‌ماند. توابع موج در مرز بین ابررسانا و فرمغناطیس باید در شرط مرزی زیر صدق کنند:

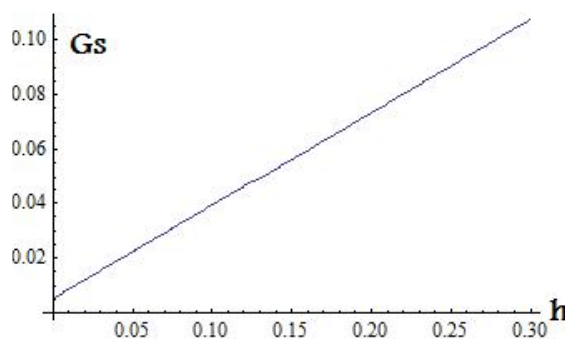
در $x = 0$:

$$\begin{aligned} \psi_{e,\sigma}^{(+)} + r_N \psi_{e,\sigma}^{(-)} + r_A \psi_{h,\bar{\sigma}}^{(-)} &= a_L \psi_{S,e}^{(+)} \\ &+ a_R \psi_{S,h}^{(-)} + a_T \psi_{S,e}^{(-)} + a_T \psi_{S,h}^{(+)} . \end{aligned} \quad (8)$$

در $x = d$:

$$\begin{aligned} t_L \psi_{e,\sigma}^{(+)} + t_R \psi_{h,\bar{\sigma}}^{(-)} &= a_L \psi_{S,e}^{(+)} \\ &+ a_R \psi_{S,h}^{(-)} + a_T \psi_{S,e}^{(-)} + a_T \psi_{S,h}^{(+)} , \end{aligned} \quad (9)$$

که $\sigma = \uparrow$ (\downarrow) مربوط به جهت‌گیری اسپین (مخالف) موافق میدان و $\bar{\sigma} = \downarrow$ (\uparrow) جهت‌گیری مخالف σ است. پس از حل ۸ معادله بالا برای ۸ ضریب مجهول، ضرایب r_N (دامنه



شکل ۴. وابستگی رسانش اسپینی به انرژی تبادلی در انرژی‌های برانگیختنگی بزرگتر از گاف.

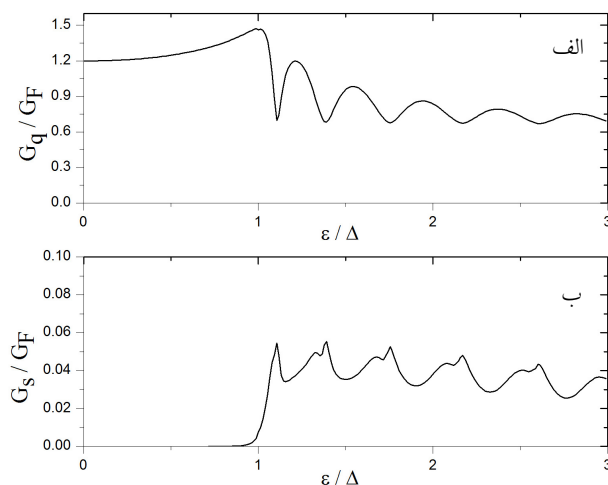
$G_s(\varepsilon)$ رسانش اسپینی در در دمای صفر از رابطه زیر به دست می‌آید:

$$G_s(\varepsilon) = \sum_{\sigma} \rho_{\sigma} G_{\sigma} \int_{\phi_{\sigma}^c} d\theta_{\sigma} \cos(\theta_{\sigma}) (1 - |r_{N,\sigma}|^2 - |r_{A,\sigma}|^2) \quad (13)$$

که $\rho_{\sigma} = +1$ برای $\sigma = \uparrow$ و $\rho_{\sigma} = -1$ برای $\sigma = \downarrow$ است. نمودارهای رسانش دیفرانسیلی الکترونی و اسپینی در شکل ۳ نمایش داده شده است. همان‌طور که از شکل برمی‌آید وجود نوسان در رسانش دیفرانسیلی الکترونی و اسپینی در انرژی‌های بالاتر از انرژی گاف نیز تأییدی است به اینکه خواص تراویری در یک ساختار FSF از گرافین همدوس است.

یکی از نکات جالب که در این پژوهش ما به آن پرداختیم وابستگی جریان اسپینی به میدان تبادلی و پهنه‌ای ناحیه ابررسانای است.

با ثابت نگه داشتن پهنه‌ای ناحیه ابررسانا در محدوده $\varepsilon \sim d$ ، جریان اسپینی هم برای ولتاژهای کمتر از گاف ابررسانا h و هم برای ولتاژهای بالاتر از گاف وابستگی خطی به پتانسیل تبادلی، دارد. با تنظیم پهنه‌ای d و h و ولتاژ اعمالی می‌توان جریان اسپین قطبیده دلخواهی را بر پایه یک اتصال گرافینی از فرومغناطیس و ابررسانا ایجاد کرد از این خاصیت می‌توان برای طراحی دستگاههای تولید کننده جریان اسپین قطبیده که کاربردهای بسیاری در صنعت اسپیترونیک دارد استفاده کرد.



شکل ۳. (الف) رسانش الکترونی (ب) رسانش اسپینی، نوسان رسانش الکترونی و اسپینی در انرژی‌های بالاتر از گاف تأییدی است بر همدوسی تراویر در ساختار FSF گرافین. این نمودارها برای $d = 0.1E_F$ ، $\Delta_s = 0.1E_F$ ، $U_s = 100E_F$ و $h = 0.1E_F$ رسماً شده است.

$$I_q(V) = \frac{1}{e} \int_{-\infty}^{\infty} d\varepsilon (f_+(\varepsilon - \frac{eV}{2}) - f_+(\varepsilon + \frac{eV}{2})) G_q(\varepsilon) \quad (10)$$

که $G_q(\varepsilon)$ رسانش دیفرانسیلی در دمای صفر است که به صورت زیر محاسبه می‌شود [۴]:

$$G_q(\varepsilon) = \sum_{\sigma} G_{\sigma} \int_{\phi_{\sigma}^c} d\theta_{\sigma} \cos(\theta_{\sigma}) (1 - |r_{N,\sigma}|^2 + |r_{A,\sigma}|^2), \quad (11)$$

که G_{σ} رسانندگی حالت نرمال است و به صورت $G_{\sigma} = (2e^2/h)N_{\sigma}(\varepsilon)$ تعریف می‌شود و $N_{\sigma}(\varepsilon) = (|\varepsilon + E_F + \sigma h|W)/\pi\hbar v_F$ نیز چگالی حالت‌هاست. عرض نوار گرافین است که برای ناحیه ابررسانا و فرومغناطیس یکسان فرض شده است. در رابطه (۹) حد بالایی انتگرال از شرط نامیرا شدن تابع موج حفره گونه به دست آمده است.

جریان اسپینی نیز به صورت زیر تعریف می‌شود [۱۰]:

$$I_s(V) = \frac{1}{e} \int_{-\infty}^{\infty} d\varepsilon (f_+(\varepsilon - \frac{eV}{2}) - f_+(\varepsilon + \frac{eV}{2})) G_s(\varepsilon), \quad (12)$$

6. Y W Son, L Cohen and S G Louie, *Nature* **444** (2006) 347.
7. S Bhattacharjee and K Sengupta, *Phys. Rev. Lett.* **97** (2006) 217001.
8. J C Slonczewski and P R Weiss, *Phys. Rev.* **109** (1958) 272.
9. C W Beenakker, *Rev. Mod. Phys.* **80** (2008) 1337.
10. M Bozovic and Z Radovic, *Phys. Rev. B* **66** (2002) 134524.
1. G A Prinz, *Phys. Today* **48** (1995) 58.
2. K S Novoselov, A K Geim, S V Morozov, D Jiang, Y Zhang, S V Dubonos, I V Grigorieva, A A Firsov, *Science* **306** (2004) 666.
3. A H Castro Neto, F Guinea, N M R Peres, K S Novoselov and A K Geim, *Rev. Mod. Phys.* **81** (2009) 109.
4. C W Beenakker, *Phys. Rev. Lett.* **97** (2006) 067007.
5. M Zareyan, H Mohammadpour and A G Moghaddam, *Phys. Rev. B* **78**(2008) 193406.